

05; 08

© 1990

АВТОМОДУЛЯЦИЯ ПОВЕРХНОСТНЫХ  
АКУСТИЧЕСКИХ ВОЛН И АВТОКОЛЕБАНИЯ  
АКУСТОЭЛЕКТРИЧЕСКИХ ЭФФЕКТОВ  
В СТРУКТУРЕ ПЬЕЗОЭЛЕКТРИК-ПОЛУПРОВОДНИК

В.А. В ю н

Возможности различных нелинейных акустоэлектронных (АЭ) явлений, происходящих в слоистых структурах пьезоэлектрик-полупроводник и представляющих практический и научный интерес для исследователей, постоянно расширяются [1-4]. Недавно в таких структурах были обнаружены би- и мультистабильные АЭ явления в пассивной кольцевой резонаторной системе [5, 6], в гибридной системе с обратной связью, управляющей проходной способностью структуры [7], а также непосредственно в структуре без внешних обратных связей [5, 8-10]. В настоящей работе впервые сообщается о существовании автомодуляции поверхностных акустических волн (ПАВ) и автоколебаний поперечного акустоэлектрического эффекта (ПАЭ) в структуре пьезоэлектрик-полупроводник.

Схема эксперимента показана на рис. 1. Слоистая структура пьезоэлектрик ( $LiNbO_3$  YZ-среза) - полупроводник ( $n-Si$  с удельным сопротивлением 200 Ом . см) включена так, что в ней из 12 пар электродов) на центральной частоте 110 МГц при подаче на него прошедшего через амплитудный модулятор „M“ высокочастотного сигнала ( $V_o$ ,  $V$ ,  $V_s$  - амплитуды сигналов на входе модулятора, на излучающем и приемном преобразователях соответственно). Сигнал ПАЭ, усиленный усилителем с коэффициентом усиления  $k$ , управляет амплитудой прошедшего через модулятор сигнала.

В эксперименте при малых амплитудах  $V_o$  низкочастотный автоколебания отсутствуют и возникают начиная с некоторых значений  $V_o$ . Осциллограммы сигналов ПАЭ на выходе усилителя  $V_b$  (сплошные линии) и амплитуды сигнала  $V$  (пунктирные линии) представлены на рис. 2. (На рис. 2 амплитуда сигнала  $V_o$  соответствует значение  $V$  при  $t = 0$ , когда  $V_b = 0$ ). При увеличении  $V_o$  сначала возрастает амплитуда колебаний  $V_b$  и глубина модуляции  $V$  (рис. 2, а-в), а затем колебания из регулярных превращаются в стохастические. При увеличении коэффициента  $k$  (на 30 дБ на рис. 2, д) автоколебания возникают при меньших входных амплитудах  $V_o$ . При подсветке полупроводникового образца частота колебаний возрастает (рис. 2, г).

Для объяснения полученных результатов учтем, что в исследуемой схеме (рис. 1) в стационарном случае из-за наличия раздели-

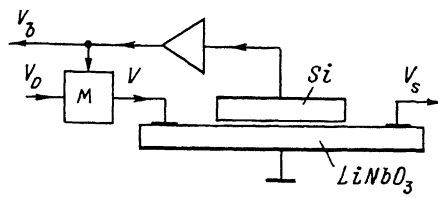


Рис. 1. Схема экспериментальной системы.

тельной емкости структуры  $C_s$  на усилителе с входным сопротивлением  $R$  и емкостью  $C$  сигналы на входе  $V_R$  и выходе  $V_d$  усилителя равны нулю. В динамике поперечная акустоэдс  $V_\alpha$  (фактически это значение потенциала на поверхности полупроводника) и сигнал на электродах структуры (на выходе усилителя)  $V_R$  связаны уравнением

$$\frac{dV_\alpha}{dt} = \frac{C_0}{C_s} \left( \frac{dV_R}{dt} - \frac{V_R}{\tau_R} \right), \quad (1)$$

где  $C_0 = C_s + C$ ,  $\tau_R = RC_0$  – время релаксации цепи (в эксперименте  $\tau_R = 0.2$  мс). Также учтем, что в типичной ситуации преобладания в ПАЭ ловушечной компоненты над концентрационной [11, 12]  $V_\alpha$  с хорошей точностью аппроксимируется уравнением [13–15]:

$$\tau_\alpha \frac{dV_\alpha}{dt} + V_\alpha = V_{\alpha 0}, \quad (2)$$

где  $\tau_\alpha$  – время релаксации ПАЭ, которое в общем случае зависит от  $V_\alpha$ ;  $V_{\alpha 0} = F_\alpha (k_s V_0 F_m (k V_R))$  – квазистационарное значение ПАЭ, являющееся некоторой функцией  $F_\alpha$  амплитуды ПАВ  $A = k_s V$  и при малых амплитудах, например, пропорциональное  $A^2$  из-за квадратичной нелинейности в структуре [12]; коэффициент  $k_s$  характеризует эффективность возбуждения ПАВ при подаче на преобразователь напряжения  $V = V_0 F_m (k V_R)$ ;  $F_m$  – пропускная способность модулятора ( $F_m = 1$  при  $V_R = 0$ ). Отметим, что возможность описания динамики ПАЭ уравнением (2) следует из кинетики захвата неравновесных носителей заряда на поверхностные состояния полупроводника [3, 16, 17] и непосредственно проверяется при включении/выключении сигналов ПАВ и регистрации ПАЭ усилителем с большим входным сопротивлением. Для исследуемой структуры значение  $\tau_\alpha$  в (2) хорошо аппроксимируется 40 мкс в темноте и 15 мкс при подсветке. При получении уравнений (1), (2) мы пренебрегли сопротивлением и емкостью полупроводника, а также считали, что период низкочастотных колебаний и  $\tau_\alpha$  много больше времени задержки ПАВ в структуре.

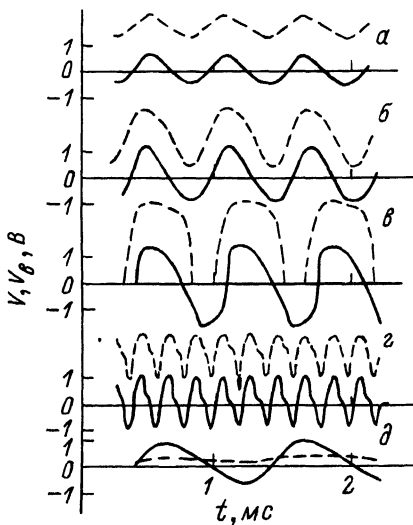


Рис. 2. Осциллограммы сигнала ПАЭ  $V_b$  (сплошные линии) и амплитуды высокочастотного сигнала  $V$  (пунктирные линии).

Уравнения (1), (2) преобразуются к дифференциальному уравнению второго порядка:

$$\frac{d^2 V_R}{dt^2} - Q(V_R) \frac{d V_R}{dt} + \Omega^2 V_R = 0, \quad (3)$$

где  $\Omega = (\tau_a \tau_R)^{-1/2}$ ,  $Q(V_R) = \frac{1}{\tau_a} \frac{C_s}{C_0} \frac{dV_{ao}}{dV_R} - \frac{1}{\tau_a} - \frac{1}{\tau_R}$ . Из (3) видно,

что при  $Q(0) > 0$  возможны автоколебания в мягком режиме возбуждения на циклической частоте  $\sim \Omega$ . В эксперименте малые квазигармонические колебания хорошо описываются уравнением Ван-дер-Поля, когда в разложении  $Q(V_R)$  в (3) достаточно ограничиться квадратичным членом [18]. Частота возникающих колебаний выражается через  $\tau_a$ ,  $\tau_R$ , т.е. автоколебательный режим ПАЭ позволяет по измерению  $\Omega$  определить значение  $\tau_a$  и дополняет методы АЭ спектроскопии поверхности полупроводников [19]. Так, на рис. 2, г увеличение частоты связано с соответствующим уменьшением  $\tau_a$  при подсветке.

В заключение отметим, что в схеме модулятор может быть выполнен в АЭ исполнении в одной структуре. При этом реализуется некоторый аналог распределенной обратной связи через ПАЭ. Оценки показывают, что в этом случае также возможен автоколебательный режим ПАЭ, автомодуляция ПАВ и гибридная АЭ бистабильность при эффективной АЭ модуляции [20]. Также отметим, что

в случае фотоэдс, обладающей аналогичными ПАЭ релаксационными свойствами, возможны автоколебания фотоэдс в аналогичной схеме (без ПАВ) с управляемой от фотоэдс модуляцией подсветки полупроводника.

## Список литературы

- [ 1 ] Гуляев Ю.В., Медведь А.В. // Изв. вузов СССР. Радиофизика. 1983. Т. 26. № 8. С. 911-948.
- [ 2 ] Валакирев М.К. In: Nonlinear Phenomena in Solid - Modern Topics, Singapore, 1985. Р.191-232.
- [ 3 ] Гуляев Ю.В., Кмита А.М., Медведь А.В., Плесский В.П., Шибанова Н.Н., Федорец В.Н. // ФТТ. 1975. Т. 17. № 12. С. 3505-3515.
- [ 4 ] Кайно Г.С. // ТИИЭР. 1976. Т. 64. № 5. С. 188-217.
- [ 5 ] Вьюн В.А., Гайнер А.В., Сурдутович Г.И., Яковкин И.Б. // ДАН СССР. 1987. Т. 296. № 3. С. 583-587.
- [ 6 ] Вьюн В.А., Гайнер А.В., Сурдутович Г.И., Яковкин И.Б. // ЖТФ. 1987. Т. 57. № 6. С. 1189-1191.
- [ 7 ] Вьюн В.А., Яковкин И.Б. // Письма в ЖТФ. 1987. Т. 13. № 15. С. 941-944.
- [ 8 ] Вьюн В.А., Гайнер А.В., Сурдутович Г.И., Яковкин И.Б. // Письма в ЖТФ. 1986. Т. 12. № 13. С. 799-802.
- [ 9 ] Вьюн В.А., Яковкин И.Б. // ФТТ. 1987. Т. 29. № 1. С. 230-232.
- [10] Вьюн В.А., Яковкин И.Б. // Акуст. журн. 1987. Т. 33. № 5. С. 840-842.
- [11] Гуляев Ю.В., Кмита А.М., Медведь А.В., Плесский В.П., Шибанова Н.Н., Федорец В.Н. // Письма в ЖЭТФ. 1975. Т. 21. № 6. С. 353-355.
- [12] Громашевский В.Л., Кундзич А.Г. // УФЖ. 1984. Т. 29. № 4. С. 561-564.
- [13] Gielboon H., Das P. // Surface Sci. 1977. V. 62. N 2. P. 536-550.
- [14] Вьюн В.А., Каплинский А.Е., Левин М.Д.// ФТТ. 1979. Т. 21. № 10. С. 3159-3161.
- [15] Бондаренко В.С., Громашевский В.Л., Кундзич А.Г., Миселюк Е.Г., Соболев Б.В., Шаров А.Ф. // ФТТ. 1980. Т. 22. № 5. С. 1566-1568.
- [16] Калашников С.Г., Федосов В.И. // ФТП. 1980. Т. 22. № 1. С. 70-74.
- [17] Ржанов А.В. Электронные процессы на поверхности полупроводников. М.: Наука. 1971. 480 с.

- [18] Б о г о л ю б о в Н.Н., М и т р о п о л ь с к и й Ю.А.  
Асимптотические методы в теории нелинейных колебаний.  
М.: Наука. 1974. 411 с.
- [19] В ъ ю н В.А., Р ж а н о в А.В., Я к о в к и н И.Б.  
Акустоэлектронные методы исследования поверхности полу-  
проводников. Новосибирск: ИФП СО АН СССР. 1987. 126с.
- [20] Г у л я е в Ю.В., М а н с ф е л ь д Г.Д., О р л о -  
в а Г.А. // Радиотехника и электроника. 1979. Т. 24.  
№ 1. С. 2197-2202.

Институт физики полупроводников  
СОАН СССР, Новосибирск

Поступило в Редакцию  
31 июля 1989 г.

Письма в ЖТФ, том 16, вып. 5

12 марта 1990 г.

01; 05; 06

© 1990

ВРЕМЯ ЖИЗНИ ЭЛЕКТРОНОВ В СТРУКТУРЕ  
С КВАНТОВЫМИ ЯМАМИ И ФОТОЭЛЕКТРИЧЕСКИЕ  
ХАРАКТЕРИСТИКИ ФОТОПРИЕМНИКОВ  
НА КВАНТОВЫХ ЯМАХ

Ф.Л. С е р ж е н к о, В.Д. Ш а д р и н

Фотоприемники, принцип действия которых основан на фотоионизации квантовых ям (КЯ), по основным параметрам не уступают ИК-приемникам на межзонных переходах. В значительной мере это связано с тем, что коэффициент поглощения излучения на КЯ не мал и сравним с таковым на прямых межзонных переходах [1-3]. Другой важной величиной, определяющей фотоэлектрические характеристики фотоприемника, является время жизни фотовозбужденных электронов в зоне проводимости. В слоистых структурах с КЯ на основе полярных полупроводников время жизни определяется процессами захвата электронов в ямы при испускании ими полярных оптических фотонов. В настоящем сообщении вычислена вероятность такого захвата и рассмотрены фотоэлектрические характеристики фоторезистора на КЯ.

Исходя из выражения для гамильтониана электрон-фононного взаимодействия

$$\hat{\mathcal{H}} = \sum_{\vec{q}} C(\vec{q}) \exp(i\vec{q}\vec{r})(\hat{a}_{\vec{q}}^+ + \hat{a}_{\vec{q}}),$$

где  $\vec{q}$  – волновой вектор фонона,  $a_{\vec{q}}^+$  и  $a_{\vec{q}}$  – операторы рождения и уничтожения фононов, получим следующее выражение для вероятности захвата в единицу времени в одну яму: